



LATITUDE INTEGRATION
SPECIFICHE IDCO

LATITUDE™ NXT
Sistema di gestione del paziente

Outdated version. Do not use.
Version überholt. Nicht verwenden.
Version obsoète. Ne pas utiliser.
Versión obsoleta. No utilizar.
Versione obsoleta. Non utilizzare.
Verouderde versie. Niet gebruiken.
Föråldrad version. Använd ej.
Þaðið ekðoðn. Þaðið ekðoðn.
Versão obsoleta. Não utilize.
Forældet version. Mnv tny xpnoiquomusitë.
Zastaralà verze. Nepoužívat.
Utdatert versjon. Skal ikke anvendes.
Zastaraná verzia. Nepoužívat.
Elavult verzió. Ne használja!
Wersja nieaktualna. Nie używać.

Outdated version. Do not use.
Version überholt. Nicht verwenden.
Version obsoète. Ne pas utiliser.
Versión obsoleta. No utilizar.
Versione obsoleta. Non utilizzare.
Verouderde versie. Niet gebruiken.
Föråldrad version. Använd ej.
Παλιά έκδοση. Μην την χρησιμοποιείτε.
Versão obsoleta. Não utilize.
Forældet version. Må ikke anvendes.
Zastaralå verze. Nepoužívat.
Utdatert versjon. Skal ikke brukes.
Zastaraná verzia. Nepoužívat!
Elavult verzió. Ne használja!
Wersja nieaktualna. Nie używać.

INDICE

Presentazione	1
Specifiche dei messaggi IDCO LATITUDE	1
Struttura dei segmenti	1
Struttura dei segmenti MSH	1
Struttura dei segmenti PID	2
Struttura dei segmenti PV1	2
Struttura dei segmenti PV2	2
Struttura dei segmenti OBR	2
Struttura dei segmenti OBX	3
Parametri in uscita	3
Definizioni relative ad allarmi e avvertenze	3
Report	3
Termini di base	4
Conversione dei dati del dispositivo impiantato in messaggi IDCO	9
Stato batteria	9
SET_BRADY_SENSOR_TYPE	9
Mapping degli episodi	10
Mapping dei contatori	11
Mapping delle configurazioni degli elettrocateteri	12
Limiti del sistema	12
Definizioni relative ad allarmi e avvertenze	13
Report	13
File IDCO di esempio	14

Outdated version. Do not use.
Version überholt. Nicht verwenden.
Version obsoète. Ne pas utiliser.
Versión obsoleta. No utilizar.
Versione obsoleta. Non utilizzare.
Verouderde versie. Niet gebruiken.
Föråldrad version. Använd ej.
Παλιά έκδοση. Μην την χρησιμοποιείτε.
Versão obsoleta. Não utilize.
Forældet version. Må ikke anvendes.
Zastaralå verze. Nepoužívat.
Utdatert versjon. Skal ikke brukes.
Zastaraná verzia. Nepoužívat!
Elavult verzió. Ne használja!
Wersja nieaktualna. Nie używać.

Presentazione

Il sistema di monitoraggio remoto del paziente Boston Scientific LATITUDE crea messaggi IDCO (Implantable Device - Cardiac - Observation) secondo le specifiche e le definizioni pubblicate in questo documento.

I messaggi sono conformi al profilo Integrating the Healthcare Enterprise (IHE) Patient Care Device (PCD) Technical Framework IDCO. Questi messaggi vengono utilizzati per inviare i dati del paziente a sistemi EMR (Electronic Medical Record, Cartella medica elettronica) o CIS (Clinical Information System, Sistema informativo clinico).

Il presente documento è destinato ai clienti LATITUDE Boston Scientific (BSC) che (1) integrano i messaggi IDCO in un sistema e (2) utilizzano sistemi EMR o CIS per tenere traccia e gestire i dati paziente. La prima sezione del presente documento ("Specifiche dei messaggi IDCO LATITUDE") è destinata principalmente al personale tecnico che si occupa dell'integrazione del messaggio; la seconda sezione, invece, è destinata principalmente ai medici e costituisce un'ulteriore spiegazione della versione Boston Scientific dei dati inclusi nel messaggio.

NOTA: *si presume che i lettori di questa sezione abbiano familiarità con la terminologia, la sintassi delle specifiche, i tipi di dati, le strutture dei messaggi e la semantica HL7 e IDCO per i messaggi IDCO. Per ulteriori informazioni, vedere:*

- www.hl7.org per la messaggistica HL7
- www.ihe.net per la messaggistica IDCO
- http://ihe.net/Technical_Framework/index.cfm#pcd per il PCD-09 Technical Framework (volumi 1, 2 e 3)
- <http://standards.ieee.org/findstds/standard/11073-10103-2012.html> per la nomenclatura IEEE IDCO

Specifiche dei messaggi IDCO LATITUDE

Un messaggio LATITUDE IDCO è un messaggio PCD-09 conforme al IHE PCD Technical Framework Revision 2.0, del 16 agosto 2012. In base a tale quadro, il messaggio è un messaggio di ordini e osservazioni non richieste basato sullo standard HL7 v2.6 contenente osservazioni desunte dal dispositivo impiantato e codificate utilizzando la nomenclatura IEEE 11073-10103 IDC. Questo standard internazionale descrive un modello universale per l'interoperabilità dei dati medici in forma elettronica.

I valori tra apici nelle colonne dei valori delle tabelle sottostanti indicano valori rigidamente codificati che appariranno sempre come indicato. I valori non racchiusi tra apici sono o esempi o descrizioni di valore.

Struttura dei segmenti

Tutti i dati inviati sono conformi al quadro PCD-09. Le informazioni incluse nella presente sezione hanno lo scopo di definire l'output BSC dei messaggi IDCO. Tali informazioni non sono esaustive e non hanno lo scopo di definire ulteriormente la nomenclatura IDCO.

Struttura dei segmenti MSH

Il segmento MSH contiene informazioni relative al mittente e al destinatario del messaggio, al tipo del messaggio, all'ora, ecc. ed è il primo segmento del messaggio IDCO.

NOME ELEMENTO	SEQ	SUB SEQ	VALORE
Applicazione mittente	3		"LATITUDE"
Struttura mittente	4		"BOSTON SCIENTIFIC"
Struttura ricevente	6		Nome clinica LATITUDE
Set di caratteri	18		"UNICODE UTF-8"

Struttura dei segmenti PID

Il segmento PID contiene le informazioni di identificazione del paziente, come il nome, i codici identificativi, il codice postale, ecc. Queste informazioni vengono usate per riconoscere i pazienti.

NOME ELEMENTO	SEQ	SUB SEQ	VALORE
ID Namespace	3	4	"BSX"

Struttura dei segmenti PV1

Il segmento PV1 (Visita paziente) contiene informazioni relative al medico che assiste il paziente.

NOME ELEMENTO	SEQ	SUB SEQ	VALORE
Classe paziente	2		"R"

Struttura dei segmenti PV2

Il segmento PV2 (Visita paziente 2) contiene informazioni relative al gruppo LATITUDE del paziente.

NOME ELEMENTO	SEQ	SUB SEQ	VALORE
Nome dell'organizzazione (gruppo)	23	1	Nome del gruppo LATITUDE Esempio: Cardiologia
Numero ID (gruppo pazienti primario o secondario)		3	1 <i>Vedere nota 1</i>

Note PV2

- Questo valore sarà "1" se il file HL7 è associato al gruppo LATITUDE principale e "2" se il file HL7 è associato al gruppo LATITUDE secondario.

Struttura dei segmenti OBR

I segmenti OBR sono le intestazioni di sezione dei singoli segmenti di informazioni di un'interrogazione OBX. Essi contengono dati tra cui le indicazioni di data e ora, un identificativo report e un identificativo univoco generato dal sistema.

NOME ELEMENTO	SEQ	SUB SEQ	VALORE DI ESEMPIO
Identificativo servizio universale	4		
Identificativo		1	754053
Testo		2	<i>Vedere nota 1</i>
Numero data/ora osservazione	7		20060429080005+0000 <i>Vedere nota 2</i>
Stato risultati	25		"F" <i>Vedere nota 3</i>

Note OBR

1. Il testo relativo all'identificativo del servizio universale avrà la seguente forma:
MDC_IDC_ENUM_SESS_TYPE_{tipo sessione}
(es. MDC_IDC_ENUM_SESS_TYPE_RemoteScheduled).
2. La Data/Ora osservazione consisterà nelle informazioni temporali relative al momento in cui il dispositivo impiantato è stato interrogato. Queste informazioni si riferiranno al fuso orario impostato per il paziente.
3. Lo stato dei risultati sarà "F" (risultati definitivi).

Struttura dei segmenti OBX

I segmenti OBX contengono i dati raccolti durante l'interrogazione più recente del dispositivo.

NOME ELEMENTO	SEQ	SUB SEQ	VALORE DI ESEMPIO
Stato risultati dell'osservazione	11		"F" Vedere nota 1
Data/Ora osservazione	14		20060317170000+0000 Vedere nota 2

Note OBX

1. Lo stato dei risultati sarà "F" (risultati definitivi).
2. La Data della misurazione verrà inclusa se tale data è diversa dalla data dell'osservazione nel segmento OBR.

Parametri in uscita

- Le stringhe verranno inviate nella lingua configurata per il medico in LATITUDE.
- I valori numerici saranno sempre inviati con il punto radice “.” (es., punto decimale).

Definizioni relative ad allarmi e avvertenze

- In caso di avvertenza, un'avvertenza NTE precederà uno o più allarmi NTE. Un'avvertenza NTE contiene una o più avvertenze in unico segmento NTE.
- In caso di allarme, ci sarà un segmento NTE per ogni allarme.

Report

Report EGM presente

Se disponibile nel payload ricevuto dal PG, il report EGM presente è allegato al messaggio come PDF ed è associato all'episodio APMRT appropriato mediante l'ID gruppo (OBX-4) dell'episodio APMRT.

Report Follow-up combinato

Un report Follow-up combinato è allegato al messaggio come PDF in un diverso segmento OBX.

Termini di base

La seguente tabella elenca la terminologia che potrebbe essere inclusa in un messaggio BSC IDCO.

ID RIFERIMENTO PREPEND MDC_IDC_	NOME VISUALIZZATO
DEV	Dispositivo Cardiaco /impiantabile
DEV_TYPE	Tipo dispositivo cardiaco impiantabile
DEV_MODEL	Modello dispositivo cardiaco impiantabile
DEV_SERIAL	Numero di serie dispositivo cardiaco impiantabile
DEV_MFG	Produttore dispositivo cardiaco impiantabile
DEV_IMPLANT_DT	Data di impianto dispositivo cardiaco impiantabile
LEAD	Attributi elettrocavettare impiantabile
LEAD_MODEL	Modello elettrocavettare impiantabile
LEAD_SERIAL	Numero di serie elettrocavettare impiantabile
LEAD_MFG	Produttore elettrocavettare impiantabile
LEAD_IMPLANT_DT	Data di impianto elettrocavettare impiantabile
LEAD_POLARITY_TYPE	Tipo polarità elettrocavettare impiantabile
LEAD_LOCATION	Posizione elettrocavettare impiantabile
LEAD_LOCATION_DETAIL_1	Posizione elettrocavettare impiantabile Dettaglio 1
SESS	Sessione di interrogazione
SESS_DTM	Data/Ora sessione di interrogazione
SESS_TYPE	Tipo sessione di interrogazione
SESS_CLINIC_NAME	Nome della clinica
MSMT	Misurazioni
MSMT_BATTERY	Misurazioni della batteria
MSMT_BATTERY_DTM	Data/Ora misurazioni della batteria
MSMT_BATTERY_STATUS	Stato batteria
MSMT_BATTERY_REMAINING_LONGEVITY	Durata residua della batteria
MSMT_BATTERY_REMAINING_PERCENTAGE	Percentuale residua della batteria
MSMT_CAP	Misurazioni dei condensatori
MSMT_CAP_CHARGE_DTM	Data/Ora ultima ricarica dei condensatori
MSMT_CAP_CHARGE_TIME	Tempo di carica dei condensatori
MSMT_CAP_CHARGE_TYPE	Tipo di carica dei condensatori
MSMT_LEADCHNL_[CHAMBER]	Misurazioni del canale degli elettrocavetti
MSMT_LEADCHNL_[CHAMBER]_DTM_[STRTEND]	Data/Ora misurazioni del canale degli elettrocavetti
MSMT_LEADCHNL_[CHAMBER]_LEAD_CHANNEL_STATUS	Stato del canale degli elettrocavetti

ID RIFERIMENTO PREPEND MDC_IDC_	NOME VISUALIZZATO
MSMT_LEADCHNL_[CHAMBER]_SENSING	Misurazioni del sensing del canale degli elettrocateteri
MSMT_LEADCHNL_[CHAMBER]_SENSING_INTR_AMPL_[MMM]	Ampiezza intrinseca del sensing del canale degli elettrocateteri
MSMT_LEADCHNL_[CHAMBER]_SENSING_POLARITY	Polarità del sensing del canale degli elettrocateteri
MSMT_LEADCHNL_[CHAMBER]_PACING_THRESHOLD	Misurazioni della soglia di pacing del canale degli elettrocateteri
MSMT_LEADCHNL_[CHAMBER]_PACING_THRESHOLD_AMPLITUDE	Ampiezza della soglia di pacing del canale degli elettrocateteri
MSMT_LEADCHNL_[CHAMBER]_PACING_THRESHOLD_PULSEWIDTH	Durata impulso della soglia di pacing del canale degli elettrocateteri
MSMT_LEADCHNL_[CHAMBER]_PACING_THRESHOLD_MEASUREMENT_METHOD	Metodo di misurazione della soglia di pacing del canale degli elettrocateteri
MSMT_LEADCHNL_[CHAMBER]_PACING_THRESHOLD_POLARITY	Polarità della soglia di pacing del canale degli elettrocateteri
MSMT_LEADCHNL_[CHAMBER]_IMPEDANCE	Misurazioni dell'impedenza del canale degli elettrocateteri
MSMT_LEADCHNL_[CHAMBER]_IMPEDANCE_VALUE	Valore dell'impedenza del canale degli elettrocateteri
MSMT_LEADCHNL_[CHAMBER]_IMPEDANCE_POLARITY	Polarità dell'impedenza del canale degli elettrocateteri
MSMT_LEADHVCHNL	Misurazioni del canale ad alta tensione degli elettrocateteri
MSMT_LEADHVCHNL_DTM_[STRTEND]	Data/Ora del canale ad alta tensione degli elettrocateteri
MSMT_LEADHVCHNL_IMPEDANCE	Impedenza del canale ad alta tensione degli elettrocateteri
MSMT_LEADHVCHNL_MEASUREMENT_TYPE	Tipo di misurazione del canale ad alta tensione degli elettrocateteri
MSMT_LEADHVCHNL_STATUS	Stato del canale ad alta tensione degli elettrocateteri
SET	Impostazioni
SET_CRT	Impostazioni CRT
SET_CRT_LVRV_DELAY	Ritardo VS-VD CRT
SET_CRT_PACED_CHAMBERS	Camere ventricolari stimolate durante il pacing CRT

ID RIFERIMENTO PREPEND MDC_IDC_	NOME VISUALIZZATO
SET_LEADCHNL_[CHAMBER]	Impostazioni del canale degli elettrocaveteri
SET_LEADCHNL_[CHAMBER]_SENSING	Impostazioni del canale degli elettrocaveteri - Sensing
SET_LEADCHNL_[CHAMBER]_SENSING_SENSITIVITY	Impostazioni del canale degli elettrocaveteri - Sensibilità del sensing
SET_LEADCHNL_[CHAMBER]_SENSING_POLARITY	Impostazioni del canale degli elettrocaveteri - Polarità del sensing
SET_LEADCHNL_[CHAMBER]_SENSING_ANODE_LOCATION_[1..3]	Impostazioni del canale degli elettrocaveteri - Posizione dell'anodo di sensing
SET_LEADCHNL_[CHAMBER]_SENSING_ANODE_ELECTRODE_[1..3]	Impostazioni del canale degli elettrocaveteri - Terminale anodo di sensing
SET_LEADCHNL_[CHAMBER]_SENSING_CATHODE_LOCATION_[1..3]	Impostazioni del canale degli elettrocaveteri - Posizione del catodo di sensing
SET_LEADCHNL_[CHAMBER]_SENSING_CATHODE_ELECTRODE_[1..3]	Impostazioni del canale degli elettrocaveteri - Terminale del catodo di sensing
SET_LEADCHNL_[CHAMBER]_SENSING_ADAPTATION_MODE	Impostazioni del canale degli elettrocaveteri - Modalità di adattamento del sensing
SET_LEADCHNL_[CHAMBER]_PACING	Impostazioni del canale degli elettrocaveteri - Pacing
SET_LEADCHNL_[CHAMBER]_PACING_AMPLITUDE	Impostazioni del canale degli elettrocaveteri - Ampiezza del pacing
SET_LEADCHNL_[CHAMBER]_PACING_PULSEWIDTH	Impostazioni del canale degli elettrocaveteri - Durata impulso di pacing
SET_LEADCHNL_[CHAMBER]_PACING_POLARITY	Impostazioni del canale degli elettrocaveteri - Polarità di pacing
SET_LEADCHNL_[CHAMBER]_PACING_ANODE_LOCATION_[1..3]	Impostazioni del canale degli elettrocaveteri - Posizione dell'anodo di pacing
SET_LEADCHNL_[CHAMBER]_PACING_ANODE_ELECTRODE_[1..3]	Impostazioni del canale degli elettrocaveteri - Terminale dell'anodo di pacing
SET_LEADCHNL_[CHAMBER]_PACING_CATHODE_LOCATION_[1..3]	Impostazioni del canale degli elettrocaveteri - Posizione del catodo di pacing
SET_LEADCHNL_[CHAMBER]_PACING_CATHODE_ELECTRODE_[1..3]	Impostazioni del canale degli elettrocaveteri - Terminale del catodo di pacing
SET_LEADCHNL_[CHAMBER]_PACING_CAPTURE_MODE	Impostazioni del canale degli elettrocaveteri - Modalità di cattura del pacing

ID RIFERIMENTO PREPEND MDC_IDC_	NOME VISUALIZZATO
SET_BRADY	Impostazioni Brady
SET_BRADY_MODE	Impostazioni Brady - Modo (codice NGB)
SET_BRADY_LOWRATE	Impostazioni Brady - Limite di frequenza inferiore
SET_BRADY_SENSOR_TYPE	Impostazioni Brady - Tipo sensore
SET_BRADY_MAX_TRACKING_RATE	Impostazioni Brady - Frequenza massima di trascinamento
SET_BRADY_MAX_SENSOR_RATE	Impostazioni Brady - Frequenza massima del sensore
SET_BRADY_SAV_DELAY_[HIGHLOW]	Impostazioni Brady - Ritardo SAV
SET_BRADY_PAV_DELAY_[HIGHLOW]	Impostazioni Brady - Ritardo PAV
SET_BRADY_AT_MODE_SWITCH_MODE	Impostazioni Brady - Modalità cambio modo AT
SET_BRADY_AT_MODE_SWITCH_RATE	Impostazioni Brady - Frequenza di cambio modo AT
SET_TACHYTHERAPY	Impostazioni terapia Tachy
SET_TACHYTHERAPY_VSTAT	Impostazioni terapia Tachy - Stato ventricolare
SET_ZONE	Impostazioni zona
SET_ZONE_TYPE	Impostazioni zona - Categoria tipo
SET_ZONE_VENDOR_TYPE	Impostazioni zona - Categoria tipo fornitore
SET_ZONE_STATUS	Impostazioni zona - Stato
SET_ZONE_DETECTION_INTERVAL	Impostazioni zona - Intervallo di rilevazione
SET_ZONE_TYPE_ATP_[1..10]	Impostazioni zona - Tipo ATP
SET_ZONE_NUM_ATP_SEQS_[1..10]	Impostazioni zona - Numero sequenze ATP
SET_ZONE_SHOCK_ENERGY_[1..10]	Impostazioni zona - Energia di shock
SET_ZONE_NUM_SHOCKS_[1..10]	Impostazioni zona - Numero di shock
STAT	Statistiche
STAT_DTM_[STRTEND]	Data/ora statistiche
STAT_BRADY	Statistiche Brady
STAT_BRADY_DTM_[STRTEND]	Data/ora statistiche Brady
STAT_BRADY_RA_PERCENT_PACED	Statistiche Brady - Percentuale di stimolazione AD
STAT_BRADY_RV_PERCENT_PACED	Statistiche Brady - Percentuale di stimolazione VD
STAT_CRT	Statistiche CRT
STAT_CRT_DTM_[STRTEND]	Data/ora statistiche CRT
STAT_CRT_LV_PERCENT_PACED	Statistiche CRT - Percentuale di stimolazione VS

ID RIFERIMENTO PREPEND MDC_IDC_	NOME VISUALIZZATO
STAT_EPISODE	Statistiche episodi
STAT_EPISODE_TYPE	Statistiche episodi - Categoria tipo
STAT_EPISODE_TYPE_INDUCED	Statistiche episodi - Tipo indotto
STAT_EPISODE_VENDOR_TYPE	Statistiche episodi - Categoria tipo fornitore
STAT_EPISODE_RECENT_COUNT	Statistiche episodi recenti - Conteggio
STAT_EPISODE_RECENT_COUNT_DTM_[STRTEND]	Statistiche episodi recenti - Data/Ora
EPISODE	Episodio
EPISODE_ID	Identificativo episodio
EPISODE_DTM	Data/Ora episodio
EPISODE_TYPE	Tipo categoria episodio
EPISODE_TYPE_INDUCED	Episodio - Bandierina tipo indotto
EPISODE_VENDOR_TYPE	Episodio - Categoria tipo fornitore
EPISODE_ATRIAL_INTERVAL_AT_DETECTION	Episodio - Intervallo rilevazione atriale
EPISODE_VENTRICULAR_INTERVAL_AT_DETECTION	Episodio - Intervallo rilevazione ventricolare
EPISODE_DETECTION_THERAPY_DETAILS	Episodio - Dettagli rilevazione e terapia
EPISODE_DURATION	Durata episodio

Version obsoleta. Non utilizzare.
 Version obsoleta. Nicht verwenden.
 Versión obsoleta. No utilitzar.
 Versão obsoleta. Não utilizar.
 Verouderde versie. Niet gebruiken.
 Föråldrad version. Må ikke användas.
 Það er ekki ógán. Mín tvær eru ógán.
 Forældet version. Må ikke anvendes.
 Zastaralá verze. Nepoužívat.
 Utdatert versjon. Skal ikke brukes.
 Zastaraná verzia. Nepoužívat.
 Elavult verzió. Ne használja!
 Wersja nieaktualna. Nie używać.

Conversione dei dati del dispositivo impiantato in messaggi IDCO

Stato batteria

Le enumerazioni dei parametri della batteria eseguono il mapping dello stato della batteria BSC come indicato di seguito:

STATO BATTERIA BSC	STATO BATTERIA IDCO
BOL	BOS
OY	MOS
ERI	RRT
EOL	EOS

Quando un dispositivo impiantato esegue una telemetria limitata, il suo stato batteria può essere ERI o EOL. Nello stesso messaggio risulterà uno dei due stati: ENUM_BATTERY_STATUS_RRT (ERI) in MSMT_BATTERY_STATUS con le informazioni temporali ERI in MSMT_BATTERY_DTM. Questa condizione si applica solo ai casi di telemetria limitata.

SET_BRADY_SENSOR_TYPE

Il tipo di sensore verrà trasmesso come indicato nella tabella seguente.

VALORE INVIATO PER LA VARIABILE SET_BRADY_SENSOR_TYPE IN BASE ALL'IMPOSTAZIONE DEL DISPOSITIVO IMPIANTATO	IMPOSTAZIONE DISPOSITIVO IMPIANTATO
“Accelerometro”	Solo accelerometro
“Ventilation Minute”	Solo VM
“Accelerometro + VM”	Accelerometro e VM

I suddetti valori verranno trasmessi solo se la frequenza può essere “pilotata” dal sensore (vale a dire che l’invio non avverrà se il sensore è nello stato di solo monitor).

I valori verranno inviati se la frequenza può essere “pilotata” nel Modo Brady normale o in ATR (cioè quando il valore non rispecchia soltanto il Modo Brady normale).

Nei report in cui il Modo ATR è a frequenza variabile e il Modo Brady normale non è a frequenza variabile, potrebbe essere visualizzata l’indicazione “Solo ATR”. In tal caso, il testo (es. “Accelerometro”) verrà comunque trasmesso per il Modo ATR. L’utente può osservare il modo Brady e quello ATR e stabilire se la risposta in frequenza è riferita solo per l’ATR.

Mapping degli episodi

Episodi, contatori, ecc., verranno trasmessi a seconda delle informazioni contenute nell'interrogazione. Le stesse informazioni saranno inviate all'inizio e in un invio successivo anche se nel frattempo si effettuano altre interrogazioni. L'output EMR non corrisponderà sempre ai dati visualizzati nel report Quick Notes perché Quick Notes visualizza gli episodi, gli alarmi e i contatori dall'ultimo azzeramento in poi. Gli episodi sono rappresentati da una combinazione di tipi standard e di tipi specifici di un fornitore. Alcuni tipi di episodi Boston Scientific non possono essere rappresentati in modo univoco tramite la nomenclatura IDCO attuale.

ID EPISODIO BSC	TIPO EPISODIO BSC	TIPO EPISODIO IDCO STANDARD	TIPO EPISODIO IDCO SPECIFICO DEL FORNITORE
V-x	FV	FV	BSX-Zone_VF
V-x	TV	TV	BSX-Epis_VT
V-x	TV (V>A)	TV	BSX-Epis_VT
V-x	Tachy	Per dispositivi SSI, se l'elettrocatatere è in: <ul style="list-style-type: none"> • V – TV • A – AT/FA • Non specificato – TV 	Non inserito
V-x	NonSost	Per dispositivi SSI, se l'elettrocatatere è in: <ul style="list-style-type: none"> • V – TV • A – AT/FA • Non specificato – TV 	non inserito, in caso di valore A altrimenti BSX-Epis_NSVT
V-x	SVT (V≤A)	SVT	BSX-Zone_SVT
V-x	TV-1	TV	BSX-Epis_VT-1
RMS-x	RMS	Altro	BSX-Epis_RMS
RYTHMIQ-x	RYTHMIQ	Altro	BSX-Epis_RMS
ATR-x	ATR	ATFA	BSX-Epis_ATR
PTM-x	PTM	Altro	BSX-Epis_PMT
RBI-x	RBI	Altro	Nessuno
TMP-x	PTM	Attivato dal paziente	BSX-Epis_PTM
V-x	Com. V	Altro	Nessuno
V-x	VNonSost	TV	BSX-Epis_NSVT
APMRT-x	APM RT	EGM periodico	BSX-Epis_APMRT
RVAT-x	VD Auto	Altro	Nessuno
RAAT-x	AD Auto	Altro	Nessuno
SAVS-x	VS Auto	Altro	Nessuno
MRI-x	MRI	Altro	Nessuno

Mapping dei contatori

Alcuni contatori sono sommati tra loro prima dell'invio tramite messaggio. Ciò avviene perché attualmente tutti i contatori Boston Scientific non possono essere rappresentati tramite la nomenclatura IDCO: I valori trasmessi dei contatori saranno quelli che iniziano dall'ultimo azzeramento.

CONTATORE EPISODI BSC	STATISTICHE IDCO - TIPO EPISODIO STANDARD	STATISTICHE IDCO - TIPO EPISODIO SPECIFICO DEL FORNITORE
TV (V>A)	TV	BSX-Epis_VT
Tachy	TV	BSX-Epis_VT
NonSost	TV	BSX-Epis_NSVT
VNonSost	TV	BSX-Epis_NSVT
SVT (V≤A)	SVT	BSX-Epis_SVT
ATR	AT/FA	BSX-Epis_ATR
MRI	Altro	Nessuno
FV	FV	BSX-Epis_VF
TV	TV	BSX-Epis_VT
TV-1	TV	BSX-Epis_VT-1
Cmd	Altro	Nessuno
Nessuna terapia programmata	Monitor	Nessuno
Altri episodi non trattati	Altro	Nessuno
RMS	Altro	BSX-Epis_RMS
RYTHMIQ	Altro	BSX-Epis_RMS
TMP	Altro	BSX-Epis_PMT
RBI	Altro	Nessuno
PTM	Attivato dal paziente	BSX-Epis_PT
APM RT	EGM periodico	BSX-Epis_APMRT
AD Auto	Altro	Nessuno
VD Auto	Altro	Nessuno
VS Auto	Altro	Nessuno

Mapping delle configurazioni degli elettrocateleti

La tabella sottostante mostra il modo in cui IDCO e BSC definiscono gli elettrocateleti multielettrodo. La tabella non è concepita come un elenco esaustivo e include solo le enumerazioni che non sono di immediata comprensione.

Le definizioni usate da BSC sono pensate per essere coerenti con il PRM (Programmer Recorder Monitor) e il sito Web LATITUDE.

NOME ELETTRODO BSC	POSIZIONE ELETTRODO IDCO	NOME ELETTRODO IDCO
Cassa	Altro	Cassa
puntVS1	VS	Punta
anelVS2	VS	Anello1
anelVS3	VS	Anello2
anelVS4	VS	Anello3

MDC_IDC_ENUM_ELECTRODE_LOCATION (posizione anodo/catodo di pacing/sensing) attualmente non include un valore per la tasca (cioè la cassa). La posizione verrà trasmessa come "altro" e l'elettrodo come "cassa".

Lo stato "controllare l'elettrocatetere" indica un problema eventuale dell'elettrocatetere; l'assenza di tale stato, tuttavia, non indica che l'elettrocatetere funziona correttamente. Lo stato "controllare l'elettrocatetere" verrà trasmesso se sono presenti i seguenti indicatori di stato:

- Lead safety switch
- Impedenza fuori range
- Ampiezza fuori range
- Impedenza di shock bassa
- Impedenza di shock alta
- Alta tensione durante carica

Per MSMT_LEADCHNL_[CHAMBER] (cioè per le misurazioni del canale degli elettrocateleti come l'ampiezza intrinseca, l'impedenza dell'elettrocatetere, la soglia di pacing), è possibile associare solo un intervallo temporale per tutte le misurazioni (ossia non è possibile indicare un intervallo per ogni misurazione) tramite la nomenclatura IDCO attuale. Se le misurazioni avvengono in tempi diversi, verrà trasmesso un intervallo temporale (cioè MIN, MAX) comprensivo della durata di tutte le misurazioni. I valori trasmessi, inoltre, riporteranno un valore IDCO MEAN in base alla nomenclatura IDCO. Tuttavia, i valori si riferiscono a singole misurazioni e non sono valori medi nell'intervallo temporale.

Limiti del sistema

- Gli output specifici della modalità Tachy e della camera sono accurati nella massima misura possibile. In alcuni casi, però, l'importanza dell'invio dei dati e il fatto che IDCO non è in grado di rappresentare determinati parametri giustifica comunque l'invio dei dati. Per esempio, le informazioni relative alla zona TV vengono trasmesse quando i dispositivi Brady dispongono di una zona TV.
- Per i dispositivi che non hanno una soglia di pacing automatica (funzionalità soglia automatica) verrà trasmessa l'ultima misurazione della soglia in clinica.
- Un invio regolare dei dati del dispositivo impiantato e delle notifiche di allarme da parte del sistema LATITUDE NXT dipende dall'orologio del dispositivo impiantato che viene programmato accuratamente da un Programmatore/Registratore/Monitor (PRM). Il reporting può continuare a essere irregolare per un determinato periodo di tempo anche in seguito alla corretta programmazione dell'orologio del dispositivo, in base alla quantità di dati ricevuti che contengono informazioni temporali errate e alla differenza oraria dovuta all'errore dell'orologio del dispositivo impiantato.
- Le stringhe verranno inviate nella lingua configurata per il medico in LATITUDE.

Definizioni relative ad allarmi e avvertenze

I messaggi di avvertenza e di allarme sono inclusi nel messaggio come note che possono essere visualizzate o meno in un EMR. Le avvertenze e gli allarmi vengono inseriti nel messaggio se i dati caricati dal PG provocano avvertenze o allarmi.

Report

Report EGM presente

Se disponibile nel payload ricevuto dal PG, il report EGM presente è allegato al messaggio come PDF ed è associato all'episodio APMRT appropriato mediante l'ID gruppo (OBX-4) dell'episodio APMRT.

Report Follow-up combinato

Un report Follow-up combinato è allegato al messaggio come PDF.

Outdated version. Do not use.
Version überholt. Nicht verwenden.
Version obsoleté. Ne pas utiliser.
Versión obsoleta. No utilizar.
Versione obsoleta. No utilizzare.
Verouderde versie. Niet gebruiken.
Föråldrad version. Använd ej.
Þaðið ekki. Þaðið ekki. Minn tny xpnoiuottolsjε.
Versão obsoleta. Não utilize.
Forældet version. Må ikke anvendes.
Zastaralà verze. Nepoužívat.
Utdatert versjon. Skal ikke brukes.
Zastaraná verzia. Nepoužívat.
Elavult verzió. Ne használja!
Wersja nieaktualna. Nie używać.

File IDCO di esempio

Il seguente esempio di file IDCO mostra come potrebbe apparire un messaggio IDCO LATITUDE. Questo rappresenta solo un esempio dei possibili file. I dati contenuti nell'esempio sono ipotetici e non sono rappresentati tutti i termini IDCO LATITUDE.

```
MSH|^~\&|LATITUDE|BOSTON SCIENTIFIC||TestClinic|201305092136+0000||ORU^R01^ORU_R01
|0|P|2.6|||||UNICODE UTF-8|it^Italian||IHE_PCD_009^IHE PCD
^1.3.6.1.4.1.19376.1.6.1.9.1^ISO
PID|1||model:N119/serial:900141^^^BSX^U||testLastName^testName^^^^^
^I~testAuxLName^testAuxFName^^^^^P||19680215|U
PV1|1|R
PV2|||||||||||||TestDeviceGroup^^1
OBR|1||1000000916|754054^MDC_IDC_ENUM_SESS_TYPE_RemotePatientInitiated
^MDC|||201001151330-0500|||||||||F
NTE|1||02 feb 2012 00:00 - Allarme giallo - Burden dell'aritmia atriale di almeno
3,0 ore in un periodo di 24 ore.
NTE|2||02 feb 2012 00:00 - Allarme giallo - Burden dell'aritmia atriale di almeno
3,0 ore in un periodo di 24 ore tra 11 gen 2010 23:00 e 12 gen 2010 00:00.
NTE|3||02 feb 2012 00:00 - Allarme giallo - Stimolazione per la terapia di
resincronizzazione cardiaca < 1%. La stimolazione era 2% tra 11 gen 2010 23:00 e
12 gen 2010 00:00.
NTE|4||02 feb 2012 00:00 - Allarme giallo - Stimolazione ventricolo destro >
1%. Il pacing era 2% tra 11 gen 2010 23:00 e 12 gen 2010 00:00.
NTE|5||02 feb 2012 00:00 - Allarme giallo - Evento memorizzato triggerato dal paziente.
NTE|6||02 feb 2012 00:00 - Allarme giallo - Il peso è aumentato di almeno 2,27 kg in una
settimana o di almeno 0,91 kg in media in un periodo di due o più giorni.
NTE|7||02 feb 2012 00:00 - Allarme giallo - Il peso diminuisce di almeno di 2,27 kg in
una settimana o di almeno 0,91 kg in media in un periodo di due o più giorni.
NTE|8||02 feb 2012 00:00 - Allarme giallo - Indicatore di espianto raggiunto in
data 12 gen 2010 00:00. Programmare la sostituzione del dispositivo.
NTE|9||02 feb 2012 00:00 - Allarme giallo - La tensione era troppo bassa per la
capacità rimanente prevista.
NTE|10||02 feb 2012 00:00 - Allarme rosso - Il monitoraggio remoto è stato disabilitato
il giorno 12 gen 2010 00:00 a causa della ridotta capacità della batteria
(Indicatore di espianto raggiunto il giorno 12 feb 2010 00:00).
NTE|11||02 feb 2012 00:00 - Allarme giallo - Danno rilevato allo storico della terapia.
I dati dello storico terapia precedentemente salvati sono stati cancellati.
NTE|12||02 feb 2012 00:00 - Allarme rosso - Possibile malfunzionamento del dispositivo.
NTE|13||02 feb 2012 00:00 - Allarme rosso - Possibile malfunzionamento del dispositivo
(codice di errore 1007).
NTE|14||02 feb 2012 00:00 - Allarme rosso - Possibile malfunzionamento del dispositivo
(codice di errore 1009).
NTE|15||02 feb 2012 00:00 - Allarme rosso - Il dispositivo è in Modalità di sicurezza.
Per proteggere il paziente il dispositivo è stato commutato sulla Modalità di sicurezza.
NTE|16||02 feb 2012 00:00 - Allarme giallo - Soglia automatica del ventricolo destro
sospesa o maggiore del valore di ampiezza programmato.
NTE|17||02 feb 2012 00:00 - Allarme giallo - Soglia automatica atriale sospesa o >
del valore di ampiezza programmato.
NTE|18||02 feb 2012 00:00 - Allarme rosso - Impedenza elettrocattetere di shock
fuori range.
NTE|19||02 feb 2012 00:00 - Allarme rosso - Impedenza bassa dell'?elettrocattetere di
shock rilevata durante il tentativo di erogare uno shock
NTE|20||02 feb 2012 00:00 - Allarme rosso - Impedenza elevata dell'elettrocattetere di
shock rilevata durante il tentativo di erogare uno shock
NTE|21||02 feb 2012 00:00 - Allarme rosso - Tensione elevata rilevata
sull'elettrocattetere di shock durante la carica
NTE|22||02 feb 2012 00:00 - Allarme rosso - La Protezione da Elettrocauterizzazione
è attiva.
NTE|23||02 feb 2012 00:00 - Allarme giallo - Si è verificato un episodio TV (V>A).
NTE|24||02 feb 2012 00:00 - Allarme giallo - La modalità Brady del dispositivo è Off.
La terapia Brady non verrà erogata.
NTE|25||02 feb 2012 00:00 - Allarme giallo - Impedenza elettrocattetere di pacing
ventricolo sinistro fuori range.
```

NTE|26||02 feb 2012 00:00 - Allarme giallo - Impedenza elettrocatatere di pacing
 atriale fuori range.
 NTE|27||02 feb 2012 00:00 - Allarme giallo - Ampiezza intrinseca ventricolo destro
 fuori range.
 NTE|28||02 feb 2012 00:00 - Allarme giallo - Ampiezza intrinseca fuori range.
 NTE|29||02 feb 2012 00:00 - Allarme giallo - Ampiezza intrinseca ventricolo sinistro
 fuori range.
 NTE|30||02 feb 2012 00:00 - Allarme giallo - Ampiezza atriale intrinseca fuori range.
 NTE|31||02 feb 2012 00:00 - Allarme rosso - Impedenza elettrocatatere di pacing
 ventricolo destro fuori range.
 NTE|32||02 feb 2012 00:00 - Allarme rosso - Impedenza elettrocatatere di pacing
 fuori range.
 NTE|33||02 feb 2012 00:00 - Allarme giallo - Terapia di shock ventricolare erogata
 per convertire l'aritmia.
 NTE|34||02 feb 2012 00:00 - Allarme giallo - Episodio di aritmia ventricolare accelerata.
 NTE|35||02 feb 2012 00:00 - Allarme rosso - Modalità Tachy impostata a un valore diverso
 da Monitor + Terapia
 NTE|36||02 feb 2012 00:00 - Allarme rosso - Notifica di controllo degli elettrocatateri
 dovuta a un cambiamento improvviso nell'impedenza dell'elettrodo di stimolazione
 ventricolare destro negli ultimi 7 giorni.
 NTE|37||02 feb 2012 00:00 - Allarme rosso - Notifica di controllo degli elettrocatateri
 dovuta a un episodio con potenziale segnale ventricolare destro non fisiologico.
 NTE|38||02 feb 2012 00:00 - Allarme giallo - Soglia automatica ventricolare sinistra
 rilevata come > dell'ampiezza programmata o sospesa.
 OBX|1|ST|739536^MDC_IDC_EPISODE_ID^MDC|1|MRI-16|||||F
 OBX|2|DTM|739552^MDC_IDC_EPISODE_DTM^MDC|1|200101020304|||||F
 OBX|3|CWE|739568^MDC_IDC_EPISODE_TYPE^MDC|1|754888
 ^MDC_IDC_ENUM_EPISODE_TYPE_Epis_Other^MDC|||||F
 OBX|4|CWE|739600^MDC_IDC_EPISODE_VENDOR_TYPE^MDC|1||||||F
 OBX|5|NM|739712^MDC_IDC_EPISODE_DURATION^MDC|1|100|s||||F
 OBX|6|ST|739680^MDC_IDC_EPISODE_DETECTION_THERAPY_DETAILS
 ^MDC|1|Modalità Protezione MRI|||||F
 OBX|7|ST|739536^MDC_IDC_EPISODE_ID^MDC|2|SAVS-15|||||F
 OBX|8|DTM|739552^MDC_IDC_EPISODE_DTM^MDC|2|200101020304|||||F
 OBX|9|CWE|739568^MDC_IDC_EPISODE_TYPE^MDC|2|754888
 ^MDC_IDC_ENUM_EPISODE_TYPE_Epis_Other^MDC|||||F
 OBX|10|CWE|739600^MDC_IDC_EPISODE_VENDOR_TYPE^MDC|2|||||F
 OBX|11|NM|739712^MDC_IDC_EPISODE_DURATION^MDC|2|100|s||||F
 OBX|12|ST|739680^MDC_IDC_EPISODE_DETECTION_THERAPY_DETAILS^MDC|2|VS Auto|||||F
 OBX|13|ST|739536^MDC_IDC_EPISODE_ID^MDC|3|RVAT-14|||||F
 OBX|14|DTM|739552^MDC_IDC_EPISODE_DTM^MDC|3|200101020304|||||F
 OBX|15|CWE|739568^MDC_IDC_EPISODE_TYPE^MDC|3|754888
 ^MDC_IDC_ENUM_EPISODE_TYPE_Epis_Other^MDC|||||F
 OBX|16|CWE|739600^MDC_IDC_EPISODE_VENDOR_TYPE^MDC|3|||||F
 OBX|17|NM|739712^MDC_IDC_EPISODE_DURATION^MDC|3|100|s||||F
 OBX|18|ST|739680^MDC_IDC_EPISODE_DETECTION_THERAPY_DETAILS^MDC|3|VD Auto|||||F
 OBX|19|ST|739536^MDC_IDC_EPISODE_ID^MDC|4|APM-13|||||F
 OBX|20|DTM|739552^MDC_IDC_EPISODE_DTM^MDC|4|200101020304|||||F
 OBX|21|CWE|739568^MDC_IDC_EPISODE_TYPE^MDC|4|754886
 ^MDC_IDC_ENUM_EPISODE_TYPE_Epis_PeriodicEGM^MDC|||||F
 OBX|22|CWE|739600^MDC_IDC_EPISODE_VENDOR_TYPE^MDC|4|771085
 ^MDC_IDC_ENUM_EPISODE_VENDOR_TYPE_BSX-Epis_APMRT^MDC|||||F
 OBX|23|ST|739680^MDC_IDC_EPISODE_DETECTION_THERAPY_DETAILS^MDC|4|EGM|||||F
 OBX|24|ST|739536^MDC_IDC_EPISODE_ID^MDC|5|PTM-12|||||F
 OBX|25|DTM|739552^MDC_IDC_EPISODE_DTM^MDC|5|200101020304|||||F
 OBX|26|CWE|739568^MDC_IDC_EPISODE_TYPE^MDC|5|754887
 ^MDC_IDC_ENUM_EPISODE_TYPE_Epis_PatientActivated^MDC|||||F
 OBX|27|CWE|739600^MDC_IDC_EPISODE_VENDOR_TYPE^MDC|5|771080
 ^MDC_IDC_ENUM_EPISODE_VENDOR_TYPE_BSX-Epis_PTM^MDC|||||F
 OBX|28|NM|739648^MDC_IDC_EPISODE_VENTRICULAR_INTERVAL_AT_DETECTION
 ^MDC|5|30000|ms|||||F
 OBX|29|NM|739712^MDC_IDC_EPISODE_DURATION^MDC|5|100|s|||||F
 OBX|30|ST|739680^MDC_IDC_EPISODE_DETECTION_THERAPY_DETAILS^MDC|5|PTM|||||F
 OBX|31|ST|739536^MDC_IDC_EPISODE_ID^MDC|6|RAAT-11|||||F
 OBX|32|DTM|739552^MDC_IDC_EPISODE_DTM^MDC|6|200101020304|||||F

OBX|33|CWE|739568^MDC_IDC_EPISODE_TYPE^MDC|6|754888
 ^MDC_IDC_ENUM_EPISODE_TYPE_Epis_Other^MDC|||||F
 OBX|34|CWE|739600^MDC_IDC_EPISODE_VENDOR_TYPE^MDC|6|||||F
 OBX|35|NM|739712^MDC_IDC_EPISODE_DURATION^MDC|6|100|s||||F
 OBX|36|ST|739680^MDC_IDC_EPISODE_DETECTION_THERAPY_DETAILS^MDC|6|AD Auto|||||F
 OBX|37|ST|739536^MDC_IDC_EPISODE_ID^MDC|7|RYTHMIQ-10|||||F
 OBX|38|DTM|739552^MDC_IDC_EPISODE_DTM^MDC|7|200101020304|||||F
 OBX|39|CWE|739568^MDC_IDC_EPISODE_TYPE^MDC|7|754888
 ^MDC_IDC_ENUM_EPISODE_TYPE_Epis_Other^MDC|||||F
 OBX|40|CWE|739600^MDC_IDC_EPISODE_VENDOR_TYPE^MDC|7|771084
 ^MDC_IDC_ENUM_EPISODE_VENDOR_TYPE_BSX-Epis_RMS^MDC|||||F
 OBX|41|NM|739648
 ^MDC_IDC_EPISODE_VENTRICULAR_INTERVAL_AT_DETECTION^MDC|7|30000|ms||||F
 OBX|42|NM|739712^MDC_IDC_EPISODE_DURATION^MDC|7|100|s||||F
 OBX|43|ST|739680^MDC_IDC_EPISODE_DETECTION_THERAPY_DETAILS^MDC|7|RYTHMIQ|||||F
 OBX|44|ST|739536^MDC_IDC_EPISODE_ID^MDC|8|RMS-9|||||F
 OBX|45|DTM|739552^MDC_IDC_EPISODE_DTM^MDC|8|200101020304|||||F
 OBX|46|CWE|739568^MDC_IDC_EPISODE_TYPE^MDC|8|754888
 ^MDC_IDC_ENUM_EPISODE_TYPE_Epis_Other^MDC|||||F
 OBX|47|CWE|739600^MDC_IDC_EPISODE_VENDOR_TYPE^MDC|8|771084
 ^MDC_IDC_ENUM_EPISODE_VENDOR_TYPE_BSX-Epis_RMS^MDC|||||F
 OBX|48|NM|739648
 ^MDC_IDC_EPISODE_VENTRICULAR_INTERVAL_AT_DETECTION^MDC|8|30000|ms||||F
 OBX|49|NM|739712^MDC_IDC_EPISODE_DURATION^MDC|8|100|s||||F
 OBX|50|ST|739680^MDC_IDC_EPISODE_DETECTION_THERAPY_DETAILS^MDC|8|RMS|||||F
 OBX|51|ST|739536^MDC_IDC_EPISODE_ID^MDC|9|V-8|||||F
 OBX|52|DTM|739552^MDC_IDC_EPISODE_DTM^MDC|9|200101020304|||||F
 OBX|53|CWE|739568^MDC_IDC_EPISODE_TYPE^MDC|9|754881
 ^MDC_IDC_ENUM_EPISODE_TYPE_Epis_VF^MDC|||||F
 OBX|54|CWE|739600^MDC_IDC_EPISODE_VENDOR_TYPE^MDC|9|771073
 ^MDC_IDC_ENUM_EPISODE_VENDOR_TYPE_BSX-Epis_VF^MDC|||||F
 OBX|55|CWE|739584^MDC_IDC_EPISODE_TYPE_INDUCED^MDC|9|755329
 ^MDC_IDC_ENUM_EPISODE_TYPE_INDUCED_YES^MDC|||||F
 OBX|56|NM|739648
 ^MDC_IDC_EPISODE_VENTRICULAR_INTERVAL_AT_DETECTION^MDC|9|30000|ms||||F
 OBX|57|NM|739712^MDC_IDC_EPISODE_DURATION^MDC|9|100|s||||F
 OBX|58|ST|739680
 ^MDC_IDC_EPISODE_DETECTION_THERAPY_DETAILS^MDC|9|FV ATPx1, 0,1J, 0,2J, 31Jx2|||||F
 OBX|59|ST|739536^MDC_IDC_EPISODE_ID^MDC|10|TMP-7|||||F
 OBX|60|DTM|739552^MDC_IDC_EPISODE_DTM^MDC|10|200101020304|||||F
 OBX|61|CWE|739568^MDC_IDC_EPISODE_TYPE^MDC|10|754888
 ^MDC_IDC_ENUM_EPISODE_TYPE_Epis_Other^MDC|||||F
 OBX|62|CWE|739600^MDC_IDC_EPISODE_VENDOR_TYPE^MDC|10|771079
 ^MDC_IDC_ENUM_EPISODE_VENDOR_TYPE_BSX-Epis_PMT^MDC|||||F
 OBX|63|NM|739648^MDC_IDC_EPISODE_VENTRICULAR_INTERVAL_AT_DETECTION
 ^MDC|10|30000|ms||||F
 OBX|64|NM|739712^MDC_IDC_EPISODE_DURATION^MDC|10|100|s||||F
 OBX|65|ST|739680^MDC_IDC_EPISODE_DETECTION_THERAPY_DETAILS^MDC|10|TMP|||||F
 OBX|66|ST|739536^MDC_IDC_EPISODE_ID^MDC|11|V-6|||||F
 OBX|67|DTM|739552^MDC_IDC_EPISODE_DTM^MDC|11|200101020304|||||F
 OBX|68|CWE|739568^MDC_IDC_EPISODE_TYPE^MDC|11|754882
 ^MDC_IDC_ENUM_EPISODE_TYPE_Epis_VT^MDC|||||F
 OBX|69|CWE|739600^MDC_IDC_EPISODE_VENDOR_TYPE^MDC|11|771075
 ^MDC_IDC_ENUM_EPISODE_VENDOR_TYPE_BSX-Epis_VT-1^MDC|||||F
 OBX|70|CWE|739584^MDC_IDC_EPISODE_TYPE_INDUCED^MDC|11|755329
 ^MDC_IDC_ENUM_EPISODE_TYPE_INDUCED_YES^MDC|||||F
 OBX|71|NM|739648^MDC_IDC_EPISODE_VENTRICULAR_INTERVAL_AT_DETECTION
 ^MDC|11|30000|ms||||F
 OBX|72|NM|739712^MDC_IDC_EPISODE_DURATION^MDC|11|100|s||||F
 OBX|73|ST|739680^MDC_IDC_EPISODE_DETECTION_THERAPY_DETAILS
 ^MDC|11|TV-1 ATPx1, 0,1J, 0,2J, 31Jx2|||||F
 OBX|74|ST|739536^MDC_IDC_EPISODE_ID^MDC|12|ATR-5|||||F
 OBX|75|DTM|739552^MDC_IDC_EPISODE_DTM^MDC|12|200101020304|||||F
 OBX|76|CWE|739568^MDC_IDC_EPISODE_TYPE^MDC|12|754883
 ^MDC_IDC_ENUM_EPISODE_TYPE_Epis_ATAF^MDC|||||F

OBX | 77 | CWE | 739600^MDC_IDC_EPISODE_VENDOR_TYPE^MDC | 12 | 771078
 ^MDC_IDC_ENUM_EPISODE_VENDOR_TYPE_BSX-Epis_ATR^MDC | | | | F
 OBX | 78 | NM | 739616^MDC_IDC_EPISODE_ATRIAL_INTERVAL_AT_DETECTION^MDC | 12 | 20000|ms | | | | F
 OBX | 79 | NM | 739712^MDC_IDC_EPISODE_DURATION^MDC | 12 | 100|s | | | | F
 OBX | 80 | ST | 739680^MDC_IDC_EPISODE_DETECTION_THERAPY_DETAILS^MDC | 12 | ATR | | | | F
 OBX | 81 | ST | 739536^MDC_IDC_EPISODE_ID^MDC | 13 | V-4 | | | | F
 OBX | 82 | DTM | 739552^MDC_IDC_EPISODE_DTM^MDC | 13 | 200101020304 | | | | F
 OBX | 83 | CWE | 739568^MDC_IDC_EPISODE_TYPE^MDC | 13 | 754882
 ^MDC_IDC_ENUM_EPISODE_TYPE_Epis_VT^MDC | | | | F
 OBX | 84 | CWE | 739600^MDC_IDC_EPISODE_VENDOR_TYPE^MDC | 13 | 771077
 ^MDC_IDC_ENUM_EPISODE_VENDOR_TYPE_BSX-Epis_NSVT^MDC | | | | F
 OBX | 85 | CWE | 739584^MDC_IDC_EPISODE_TYPE_INDUCED^MDC | 13 | 755329
 ^MDC_IDC_ENUM_EPISODE_TYPE_INDUCED_YES^MDC | | | | F
 OBX | 86 | NM | 739648^MDC_IDC_EPISODE_VENTRICULAR_INTERVAL_AT_DETECTION
 ^MDC | 13 | 30000|ms | | | | F
 OBX | 87 | NM | 739712^MDC_IDC_EPISODE_DURATION^MDC | 13 | 100|s | | | | F
 OBX | 88 | ST | 739680^MDC_IDC_EPISODE_DETECTION_THERAPY_DETAILS^MDC | 13 | VNonSost | | | | F
 OBX | 89 | ST | 739536^MDC_IDC_EPISODE_ID^MDC | 14 | V-3 | | | | F
 OBX | 90 | DTM | 739552^MDC_IDC_EPISODE_DTM^MDC | 14 | 200101020304 | | | | F
 OBX | 91 | CWE | 739568^MDC_IDC_EPISODE_TYPE^MDC | 14 | 754882
 ^MDC_IDC_ENUM_EPISODE_TYPE_Epis_VT^MDC | | | | F
 OBX | 92 | CWE | 739600^MDC_IDC_EPISODE_VENDOR_TYPE^MDC | 14 | 771074
 ^MDC_IDC_ENUM_EPISODE_VENDOR_TYPE_BSX-Epis_VT^MDC | | | | F
 OBX | 93 | CWE | 739584^MDC_IDC_EPISODE_TYPE_INDUCED^MDC | 14 | 755329
 ^MDC_IDC_ENUM_EPISODE_TYPE_INDUCED_YES^MDC | | | | F
 OBX | 94 | NM | 739648^MDC_IDC_EPISODE_VENTRICULAR_INTERVAL_AT_DETECTION
 ^MDC | 14 | 30000|ms | | | | F
 OBX | 95 | NM | 739712^MDC_IDC_EPISODE_DURATION^MDC | 14 | 100|s | | | | F
 OBX | 96 | ST | 739680^MDC_IDC_EPISODE_DETECTION_THERAPY_DETAILS
 ^MDC | 14 | TV ATPx1, 0,1J, 0,2J, 31Jx2 | | | | F
 OBX | 97 | ST | 739536^MDC_IDC_EPISODE_ID^MDC | 15 | RBI-2 | | | | F
 OBX | 98 | DTM | 739552^MDC_IDC_EPISODE_DTM^MDC | 15 | 200101020304 | | | | F
 OBX | 99 | CWE | 739568^MDC_IDC_EPISODE_TYPE^MDC | 15 | 754888
 ^MDC_IDC_ENUM_EPISODE_TYPE_Epis_Other^MDC | | | | F
 OBX | 100 | CWE | 739600^MDC_IDC_EPISODE_VENDOR_TYPE^MDC | 15 | | | | F
 OBX | 101 | NM | 739616^MDC_IDC_EPISODE_ATRIAL_INTERVAL_AT_DETECTION^MDC | 15 | 20000|ms | | | | F
 OBX | 102 | NM | 739712^MDC_IDC_EPISODE_DURATION^MDC | 15 | 100|s | | | | F
 OBX | 103 | ST | 739680^MDC_IDC_EPISODE_DETECTION_THERAPY_DETAILS^MDC | 15 | RBI | | | | F
 OBX | 104 | ST | 739536^MDC_IDC_EPISODE_ID^MDC | 16 | V-1 | | | | F
 OBX | 105 | DTM | 739552^MDC_IDC_EPISODE_DTM^MDC | 16 | 200101020304 | | | | F
 OBX | 106 | CWE | 739568^MDC_IDC_EPISODE_TYPE^MDC | 16 | 754888
 ^MDC_IDC_ENUM_EPISODE_TYPE_Epis_Other^MDC | | | | F
 OBX | 107 | CWE | 739600^MDC_IDC_EPISODE_VENDOR_TYPE^MDC | 16 | | | | F
 OBX | 108 | CWE | 739584^MDC_IDC_EPISODE_TYPE_INDUCED^MDC | 16 | 755329
 ^MDC_IDC_ENUM_EPISODE_TYPE_INDUCED_YES^MDC | | | | F
 OBX | 109 | NM | 739648^MDC_IDC_EPISODE_VENTRICULAR_INTERVAL_AT_DETECTION
 ^MDC | 16 | 30000|ms | | | | F
 OBX | 110 | NM | 739712^MDC_IDC_EPISODE_DURATION^MDC | 16 | 100|s | | | | F
 OBX | 111 | ST | 739680^MDC_IDC_EPISODE_DETECTION_THERAPY_DETAILS
 ^MDC | 16 | Com. V Terapia erogata | | | | F
 OBX | 112 | ED | 18750-0^Cardiac Electrophysiology Report^LN | Application^PDF^
 ^Base64^{encoded PDF included here} | | | | F | | 201001151330-0500
 OBX | 113 | ED | 18750-0^Cardiac Electrophysiology Report^LN | 4 | Application^PDF^
 ^Base64^{encoded PDF included here} | | | | F | | 201001151330-0500
 OBX | 114 | CWE | 720897^MDC_IDC_DEV_TYPE^MDC | 1753665^MDC_IDC_ENUM_DEV_TYPE_IPG^MDC | | | | F
 OBX | 115 | ST | 720898^MDC_IDC_DEV_MODEL^MDC | 1N19 | | | | F
 OBX | 116 | ST | 720899^MDC_IDC_DEV_SERIAL^MDC | 1900141 | | N | F
 OBX | 117 | CWE | 720900^MDC_IDC_DEV_MFG^MDC | 1753732^MDC_IDC_ENUM_MFG_BSX^MDC | | | | F
 OBX | 118 | DTM | 720901^MDC_IDC_DEV_IMPLANT_DT^MDC | 12020513 | | | | F
 OBX | 119 | ST | 720961^MDC_IDC_LEAD_MODEL^MDC | 1 | 12345 | | | | F
 OBX | 120 | ST | 720962^MDC_IDC_LEAD_SERIAL^MDC | 1 | 6789 | | | | F
 OBX | 121 | CWE | 720963^MDC_IDC_LEAD_MFG^MDC | 1 | 753731^MDC_IDC_ENUM_MFG_BIO^MDC | | | | F
 OBX | 122 | CWE | 720965^MDC_IDC_LEAD_POLARITY_TYPE^MDC | 1 | 753793
 ^MDC_IDC_ENUM_LEAD_POLARITY_TYPE_UNI^MDC | | | | F
 OBX | 123 | DTM | 720964^MDC_IDC_LEAD_IMPLANT_DT^MDC | 1 | 201205 | | | | F

OBX|124|CWE|720966^MDC_IDC_LEAD_LOCATION^MDC|1|753858
 ^MDC_IDC_ENUM LEAD LOCATION CHAMBER_LV^MDC|||||F
OBX|125|CWE|720967^MDC_IDC_LEAD_LOCATION_DETAIL_1^MDC|1|753922
 ^MDC_IDC_ENUM LEAD LOCATION DETAIL_Apex^MDC|||||F
OBX|126|CWE|720968^MDC_IDC_LEAD_LOCATION_DETAIL_2^MDC|1|753925
 ^MDC_IDC_ENUM LEAD LOCATION DETAIL_VenaCava^MDC|||||F
OBX|127|ST|720961^MDC_IDC_LEAD_MODEL^MDC|2|12345|||||F
OBX|128|ST|720962^MDC_IDC_LEAD_SERIAL^MDC|2|6789|||||F
OBX|129|CWE|720963^MDC_IDC_LEAD_MFG^MDC|2|753731^MDC_IDC_ENUM_MFG_BIO^MDC|||||F
OBX|130|CWE|720965^MDC_IDC_LEAD_POLARITY_TYPE^MDC|2|753793
 ^MDC_IDC_ENUM LEAD POLARITY_TYPE_UNI^MDC|||||F
OBX|131|DTM|720964^MDC_IDC_LEAD_IMPLANT_DT^MDC|2|201205|||||F
OBX|132|CWE|720966^MDC_IDC_LEAD_LOCATION^MDC|2|753858
 ^MDC_IDC_ENUM LEAD LOCATION CHAMBER_LV^MDC|||||F
OBX|133|CWE|720967^MDC_IDC_LEAD_LOCATION_DETAIL_1^MDC|2|753922
 ^MDC_IDC_ENUM LEAD LOCATION DETAIL_Apex^MDC|||||F
OBX|134|CWE|720968^MDC_IDC_LEAD_LOCATION_DETAIL_2^MDC|2|753925
 ^MDC_IDC_ENUM LEAD LOCATION DETAIL_VenaCava^MDC|||||F
OBX|135|ST|720961^MDC_IDC_LEAD_MODEL^MDC|3|12345|||||F
OBX|136|ST|720962^MDC_IDC_LEAD_SERIAL^MDC|3|6789|||||F
OBX|137|CWE|720963^MDC_IDC_LEAD_MFG^MDC|3|753731^MDC_IDC_ENUM_MFG_BIO^MDC|||||F
OBX|138|CWE|720965^MDC_IDC_LEAD_POLARITY_TYPE^MDC|3|753793
 ^MDC_IDC_ENUM LEAD POLARITY_TYPE_UNI^MDC|||||F
OBX|139|DTM|720964^MDC_IDC_LEAD_IMPLANT_DT^MDC|3|201205|||||F
OBX|140|CWE|720966^MDC_IDC_LEAD_LOCATION^MDC|3|753858
 ^MDC_IDC_ENUM LEAD LOCATION CHAMBER_LV^MDC|||||F
OBX|141|CWE|720967^MDC_IDC_LEAD_LOCATION_DETAIL_1^MDC|3|753922
 ^MDC_IDC_ENUM LEAD LOCATION DETAIL_Apex^MDC|||||F
OBX|142|CWE|720968^MDC_IDC_LEAD_LOCATION_DETAIL_2^MDC|3|753925
 ^MDC_IDC_ENUM LEAD LOCATION DETAIL_VenaCava^MDC|||||F
OBX|143|ST|720961^MDC_IDC_LEAD_MODEL^MDC|4|12345|||||F
OBX|144|ST|720962^MDC_IDC_LEAD_SERIAL^MDC|4|6789|||||F
OBX|145|CWE|720963^MDC_IDC_LEAD_MFG^MDC|4|753731^MDC_IDC_ENUM_MFG_BIO^MDC|||||F
OBX|146|CWE|720965^MDC_IDC_LEAD_POLARITY_TYPE^MDC|4|753793
 ^MDC_IDC_ENUM LEAD POLARITY_TYPE_UNI^MDC|||||F
OBX|147|DTM|720964^MDC_IDC_LEAD_IMPLANT_DT^MDC|4|201205|||||F
OBX|148|CWE|720966^MDC_IDC_LEAD_LOCATION^MDC|4|753858
 ^MDC_IDC_ENUM LEAD LOCATION CHAMBER_LV^MDC|||||F
OBX|149|CWE|720967^MDC_IDC_LEAD_LOCATION_DETAIL_1^MDC|4|753922
 ^MDC_IDC_ENUM LEAD LOCATION DETAIL_Apex^MDC|||||F
OBX|150|CWE|720968^MDC_IDC_LEAD_LOCATION_DETAIL_2^MDC|4|753925
 ^MDC_IDC_ENUM LEAD LOCATION DETAIL_VenaCava^MDC|||||F
OBX|151|ST|720961^MDC_IDC_LEAD_MODEL^MDC|5|12345|||||F
OBX|152|ST|720962^MDC_IDC_LEAD_SERIAL^MDC|5|6789|||||F
OBX|153|CWE|720963^MDC_IDC_LEAD_MFG^MDC|5|753731^MDC_IDC_ENUM_MFG_BIO^MDC|||||F
OBX|154|CWE|720965^MDC_IDC_LEAD_POLARITY_TYPE^MDC|5|753793
 ^MDC_IDC_ENUM LEAD POLARITY_TYPE_UNI^MDC|||||F
OBX|155|DTM|720964^MDC_IDC_LEAD_IMPLANT_DT^MDC|5|201205|||||F
OBX|156|CWE|720966^MDC_IDC_LEAD_LOCATION^MDC|5|753858
 ^MDC_IDC_ENUM LEAD LOCATION CHAMBER_LV^MDC|||||F
OBX|157|CWE|720967^MDC_IDC_LEAD_LOCATION_DETAIL_1^MDC|5|753922
 ^MDC_IDC_ENUM LEAD LOCATION DETAIL_Apex^MDC|||||F
OBX|158|CWE|720968^MDC_IDC_LEAD_LOCATION_DETAIL_2^MDC|5|753925
 ^MDC_IDC_ENUM LEAD LOCATION DETAIL_VenaCava^MDC|||||F
OBX|159|ST|720961^MDC_IDC_LEAD_MODEL^MDC|6|12345|||||F
OBX|160|ST|720962^MDC_IDC_LEAD_SERIAL^MDC|6|6789|||||F
OBX|161|CWE|720963^MDC_IDC_LEAD_MFG^MDC|6|753731^MDC_IDC_ENUM_MFG_BIO^MDC|||||F
OBX|162|CWE|720965^MDC_IDC_LEAD_POLARITY_TYPE^MDC|6|753793
 ^MDC_IDC_ENUM LEAD POLARITY_TYPE_UNI^MDC|||||F
OBX|163|DTM|720964^MDC_IDC_LEAD_IMPLANT_DT^MDC|6|201205|||||F
OBX|164|CWE|720966^MDC_IDC_LEAD_LOCATION^MDC|6|753858
 ^MDC_IDC_ENUM LEAD LOCATION CHAMBER_LV^MDC|||||F
OBX|165|CWE|720967^MDC_IDC_LEAD_LOCATION_DETAIL_1^MDC|6|753922
 ^MDC_IDC_ENUM LEAD LOCATION DETAIL_Apex^MDC|||||F

OBX|166|CWE|720968^MDC_IDC_LEAD_LOCATION_DETAIL_2^MDC|6|753925
 ^MDC_IDC_ENUM_LEAD_LOCATION_DETAIL_VenaCava^MDC|||||F
 OBX|167|DTM|721025^MDC_IDC_SESS_DTM^MDC||201001021310-0600|||||F
 OBX|168|CWE|721026^MDC_IDC_SESS_TYPE^MDC||754052
 ^MDC_IDC_ENUM_SESS_TYPE_RemoteDeviceInitiated^MDC|||||F
 OBX|169|ST|721033^MDC_IDC_SESS_CLINIC_NAME
 ^MDC||abcdefghijklmnopqrstuvwxyzabcdefghijklmnopqrstuvwxyz|||||F
 OBX|170|DTM|721216^MDC_IDC_MSMT_BATTERY_DTM^MDC||201205221755+0000|||||F
 OBX|171|CWE|721280^MDC_IDC_MSMT_BATTERY_STATUS^MDC||754113
 ^MDC_IDC_ENUM_BATTERY_STATUS_BOS^MDC|||||F
 OBX|172|NM|721472^MDC_IDC_MSMT_BATTERY_REMAINING_LONGEVITY^MDC||132|mo||>|||F
 OBX|173|NM|721536^MDC_IDC_MSMT_BATTERY_REMAINING_PERCENTAGE^MDC||100|%|||F
 OBX|174|DTM|721664^MDC_IDC_MSMT_CAP_CHARGE_DTM^MDC||201205221755|||||F
 OBX|175|NM|721728^MDC_IDC_MSMT_CAP_CHARGE_TIME^MDC||3.0|s|||||F
 OBX|176|CWE|721856^MDC_IDC_MSMT_CAP_CHARGE_TYPE^MDC||754178
 ^MDC_IDC_ENUM_CHARGE_TYPE_Reformation^MDC|||||F
 OBX|177|DTM|721921^MDC_IDC_MSMT_LEADCHNL_RA_DTM_START^MDC||20121211|||||F
 OBX|178|DTM|721922^MDC_IDC_MSMT_LEADCHNL_RA_DTM_END^MDC||20121211|||||F
 OBX|179|CWE|721984^MDC_IDC_MSMT_LEADCHNL_RA_LEAD_CHANNEL_STATUS
 ^MDC||754241^MDC_IDC_ENUM_CHANNEL_STATUS_CheckLead^MDC|||||F
 OBX|180|NM|722051
 ^MDC_IDC_MSMT_LEADCHNL_RA_SENSING_INTR_AMPL_MEAN^MDC||mV||NAV|||F|||20121211
 OBX|181|DTM|721925^MDC_IDC_MSMT_LEADCHNL_RV_DTM_START^MDC||19990102|||||F
 OBX|182|DTM|721926^MDC_IDC_MSMT_LEADCHNL_RV_DTM_END^MDC||20121211|||||F
 OBX|183|CWE|721985^MDC_IDC_MSMT_LEADCHNL_RV_LEAD_CHANNEL_STATUS^MDC||754241
 ^MDC_IDC_ENUM_CHANNEL_STATUS_CheckLead^MDC|||||F
 OBX|184|NM|722055
 ^MDC_IDC_MSMT_LEADCHNL_RV_SENSING_INTR_AMPL_MEAN^MDC||0.1|mV|<|||F|||20121211
 OBX|185|DTM|721933^MDC_IDC_MSMT_LEADCHNL_LV_DTM_START^MDC||19990102|||||F
 OBX|186|DTM|721934^MDC_IDC_MSMT_LEADCHNL_LV_DTM_END^MDC||20121211|||||F
 OBX|187|CWE|721987^MDC_IDC_MSMT_LEADCHNL_LV_LEAD_CHANNEL_STATUS^MDC||754241
 ^MDC_IDC_ENUM_CHANNEL_STATUS_CheckLead^MDC|||||F
 OBX|188|NM|722063^MDC_IDC_MSMT_LEADCHNL_LV_SENSING_INTR_AMPL_MEAN
 ^MDC||25.0|mV||>||F|||20121211
 OBX|189|CWE|722112^MDC_IDC_MSMT_LEADCHNL_RA_SENSING_POLARITY^MDC||754305
 ^MDC_IDC_ENUM_POLARITY_UNI^MDC|||||F
 OBX|190|CWE|722113^MDC_IDC_MSMT_LEADCHNL_RV_SENSING_POLARITY^MDC||754306
 ^MDC_IDC_ENUM_POLARITY_BI^MDC|||||F
 OBX|191|CWE|722115^MDC_IDC_MSMT_LEADCHNL_LV_SENSING_POLARITY^MDC|||OFF|||F
 OBX|192|NM|722176^MDC_IDC_MSMT_LEADCHNL_RA_PACING_THRESHOLD_AMPLITUDE
 ^MDC|||V||NAV|||F|||20121211
 OBX|193|NM|722177^MDC_IDC_MSMT_LEADCHNL_RV_PACING_THRESHOLD_AMPLITUDE
 ^MDC||3.0|V||>|||F|||20121211
 OBX|194|NM|722179^MDC_IDC_MSMT_LEADCHNL_LV_PACING_THRESHOLD_AMPLITUDE
 ^MDC||0.0|V|||F|||20121210
 OBX|195|NM|722240^MDC_IDC_MSMT_LEADCHNL_RA_PACING_THRESHOLD_PULSEWIDTH
 ^MDC|||ms||NAV|||F|||19990102
 OBX|196|NM|722241^MDC_IDC_MSMT_LEADCHNL_RV_PACING_THRESHOLD_PULSEWIDTH
 ^MDC||0.4|ms|||||F|||19990102
 OBX|197|NM|722243^MDC_IDC_MSMT_LEADCHNL_LV_PACING_THRESHOLD_PULSEWIDTH
 ^MDC||0.4|ms|||||F|||19990102
 OBX|198|CWE|722304^MDC_IDC_MSMT_LEADCHNL_RA_PACING_THRESHOLD_MEASUREMENT_METHOD
 ^MDC||754369^MDC_IDC_ENUM_MEASUREMENT_METHOD_ProgrammerManual^MDC|||||F
 OBX|199|CWE|722305^MDC_IDC_MSMT_LEADCHNL_RV_PACING_THRESHOLD_MEASUREMENT_METHOD
 ^MDC||754369^MDC_IDC_ENUM_MEASUREMENT_METHOD_ProgrammerManual^MDC|||||F
 OBX|200|CWE|722307^MDC_IDC_MSMT_LEADCHNL_LV_PACING_THRESHOLD_MEASUREMENT_METHOD
 ^MDC||754369^MDC_IDC_ENUM_MEASUREMENT_METHOD_ProgrammerManual^MDC|||||F
 OBX|201|CWE|722368^MDC_IDC_MSMT_LEADCHNL_RA_PACING_THRESHOLD_POLARITY^MDC||754305
 ^MDC_IDC_ENUM_POLARITY_UNI^MDC|||||F
 OBX|202|CWE|722369^MDC_IDC_MSMT_LEADCHNL_RV_PACING_THRESHOLD_POLARITY^MDC||754306
 ^MDC_IDC_ENUM_POLARITY_BI^MDC|||||F
 OBX|203|CWE|722371^MDC_IDC_MSMT_LEADCHNL_LV_PACING_THRESHOLD_POLARITY^MDC||754306
 ^MDC_IDC_ENUM_POLARITY_BI^MDC|||||F
 OBX|204|NM|722432^MDC_IDC_MSMT_LEADCHNL_RA_IMPEDANCE_VALUE
 ^MDC||200|ohms||<|||F|||20121211

OBX|205|NM|722433^MDC_IDC_MSMT_LEADCHNL_RV_IMPEDANCE_VALUE
 ^MDC|2000|ohms||>||||F|||20121211
 OBX|206|NM|722435^MDC_IDC_MSMT_LEADCHNL_LV_IMPEDANCE_VALUE
 ^MDC|201|ohms|||||F|||20121209
 OBX|207|CWE|722496^MDC_IDC_MSMT_LEADCHNL_RA_IMPEDANCE_POLARITY^MDC||754305
 ^MDC_IDC_ENUM_POLARITY_UNI^MDC|||||F
 OBX|208|CWE|722497^MDC_IDC_MSMT_LEADCHNL_RV_IMPEDANCE_POLARITY^MDC||754305
 ^MDC_IDC_ENUM_POLARITY_UNI^MDC|||||F
 OBX|209|CWE|722499^MDC_IDC_MSMT_LEADCHNL_LV_IMPEDANCE_POLARITY^MDC||754306
 ^MDC_IDC_ENUM_POLARITY_BI^MDC|||||F
 OBX|210|DTM|722560^MDC_IDC_MSMT_LEADHVCHNL_DTM_START^MDC|1|20121109|||||F
 OBX|211|NM|722624^MDC_IDC_MSMT_LEADHVCHNL_IMPEDANCE^MDC|1||ohms||NAV|||F
 OBX|212|CWE|722688^MDC_IDC_MSMT_LEADHVCHNL_MEASUREMENT_TYPE^MDC|1|754433
 ^MDC_IDC_ENUM_HVCHNL_MEASUREMENT_TYPE_LowVoltage^MDC|||||F
 OBX|213|CWE|722752^MDC_IDC_MSMT_LEADHVCHNL_STATUS^MDC|1|754241
 ^MDC_IDC_ENUM_CHANNEL_STATUS_CheckLead^MDC|||||F
 OBX|214|NM|729344^MDC_IDC_SET_CRT_LVRV_DELAY^MDC||-100|ms|||||F
 OBX|215|CWE|729408^MDC_IDC_SET_CRT_PACED_CHAMBERS^MDC||755265
 ^MDC_IDC_ENUM_CRT_PACED_CHAMBERS_RV_Only^MDC|||||F
 OBX|216|NM|729536^MDC_IDC_SET_LEADCHNL_RA_SENSING_SENSITIVITY^MDC||0.5|mV|||||F
 OBX|217|NM|729537^MDC_IDC_SET_LEADCHNL_RV_SENSING_SENSITIVITY^MDC||0.9|mV|||||F
 OBX|218|NM|729539^MDC_IDC_SET_LEADCHNL_LV_SENSING_SENSITIVITY^MDC||1.0|mV|||||F
 OBX|219|CWE|729600^MDC_IDC_SET_LEADCHNL_RA_SENSING_POLARITY^MDC|||||OFF|||F
 OBX|220|CWE|729601^MDC_IDC_SET_LEADCHNL_RV_SENSING_POLARITY^MDC||754305
 ^MDC_IDC_ENUM_POLARITY_UNI^MDC|||||F
 OBX|221|CWE|729676^MDC_IDC_SET_LEADCHNL_LV_SENSING_ANODE_LOCATION^MDC||754498
 ^MDC_IDC_ENUM_ELECTRODE_LOCATION_RV^MDC|||||F
 OBX|222|CWE|729740^MDC_IDC_SET_LEADCHNL_LV_SENSING_ANODE_ELECTRODE^MDC|||||OFF|||F
 OBX|223|CWE|729804^MDC_IDC_SET_LEADCHNL_LV_SENSING_CATHODE_LOCATION^MDC|||||OFF|||F
 OBX|224|CWE|729868^MDC_IDC_SET_LEADCHNL_LV_SENSING_CATHODE_ELECTRODE^MDC||754561
 ^MDC_IDC_ENUM_ELECTRODE_NAME_Tip^MDC|||||F
 OBX|225|CWE|729920^MDC_IDC_SET_LEADCHNL_RA_SENSING_ADAPTATION_MODE^MDC||754625
 ^MDC_IDC_ENUM_SENSING_ADAPTATION_MODE_AdaptiveSensing^MDC|||||F
 OBX|226|CWE|729921^MDC_IDC_SET_LEADCHNL_RV_SENSING_ADAPTATION_MODE^MDC||754625
 ^MDC_IDC_ENUM_SENSING_ADAPTATION_MODE_AdaptiveSensing^MDC|||||F
 OBX|227|CWE|729923^MDC_IDC_SET_LEADCHNL_LV_SENSING_ADAPTATION_MODE^MDC||754626
 ^MDC_IDC_ENUM_SENSING_ADAPTATION_MODE_FixedSensing^MDC|||||F
 OBX|228|NM|729984^MDC_IDC_SET_LEADCHNL_RA_PACING_AMPLITUDE^MDC||5.1|V|||||F
 OBX|229|NM|729985^MDC_IDC_SET_LEADCHNL_RV_PACING_AMPLITUDE^MDC||5.0|V|||||F
 OBX|230|NM|729987^MDC_IDC_SET_LEADCHNL_LV_PACING_AMPLITUDE^MDC||2.8|V|||||F
 OBX|231|NM|730048^MDC_IDC_SET_LEADCHNL_RA_PACING_PULSEWIDTH^MDC||100.0|ms|||||F
 OBX|232|NM|730049^MDC_IDC_SET_LEADCHNL_RV_PACING_PULSEWIDTH^MDC||200.0|ms|||||F
 OBX|233|NM|730051^MDC_IDC_SET_LEADCHNL_LV_PACING_PULSEWIDTH^MDC||300.0|ms|||||F
 OBX|234|CWE|730112^MDC_IDC_SET_LEADCHNL_RA_PACING_POLARITY^MDC||754305
 ^MDC_IDC_ENUM_POLARITY_UNI^MDC|||||F
 OBX|235|CWE|730113^MDC_IDC_SET_LEADCHNL_RV_PACING_POLARITY^MDC||754305
 ^MDC_IDC_ENUM_POLARITY_UNI^MDC|||||F
 OBX|236|CWE|730188^MDC_IDC_SET_LEADCHNL_LV_PACING_ANODE_LOCATION^MDC||754498
 ^MDC_IDC_ENUM_ELECTRODE_LOCATION_RV^MDC|||||F
 OBX|237|CWE|730252^MDC_IDC_SET_LEADCHNL_LV_PACING_ANODE_ELECTRODE^MDC||754564
 ^MDC_IDC_ENUM_ELECTRODE_NAME_Ring2^MDC|||||F
 OBX|238|CWE|730316^MDC_IDC_SET_LEADCHNL_LV_PACING_CATHODE_LOCATION^MDC||754500
 ^MDC_IDC_ENUM_ELECTRODE_LOCATION_LV^MDC|||||F
 OBX|239|CWE|730380^MDC_IDC_SET_LEADCHNL_LV_PACING_CATHODE_ELECTRODE^MDC||754566
 ^MDC_IDC_ENUM_ELECTRODE_NAME_Ring4^MDC|||||F
 OBX|240|CWE|730432^MDC_IDC_SET_LEADCHNL_RA_PACING_CAPTURE_MODE^MDC||754690
 ^MDC_IDC_ENUM_PACING_CAPTURE_MODE_FixedPacing^MDC|||||F
 OBX|241|CWE|730433^MDC_IDC_SET_LEADCHNL_RV_PACING_CAPTURE_MODE^MDC||754691
 ^MDC_IDC_ENUM_PACING_CAPTURE_MODE_MonitorCapture^MDC|||||F
 OBX|242|CWE|730435^MDC_IDC_SET_LEADCHNL_LV_PACING_CAPTURE_MODE^MDC||754690
 ^MDC_IDC_ENUM_PACING_CAPTURE_MODE_FixedPacing^MDC|||||F
 OBX|243|CWE|730752^MDC_IDC_SET_BRADY_MODE^MDC||754760^MDC_IDC_ENUM_BRADY_MODE_DDD
 ^MDC|||||F
 OBX|244|NM|730880^MDC_IDC_SET_BRADY_LOWRATE^MDC||100|{beats}/min|||||F
 OBX|245|ST|731072^MDC_IDC_SET_BRADY_SENSOR_TYPE^MDC||Accelerometro + VM|||||F

OBX|246|NM|731136^MDC_IDC_SET_BRADY_MAX_TRACKING_RATE^MDC|1|30|{beats}/min|||||F
 OBX|247|NM|731200^MDC_IDC_SET_BRADY_MAX_SENSOR_RATE^MDC|1|80|{beats}/min|||||F
 OBX|248|NM|731265^MDC_IDC_SET_BRADY_SAV_DELAY_HIGH^MDC|1|02|ms|||||F
 OBX|249|NM|731266^MDC_IDC_SET_BRADY_SAV_DELAY_LOW^MDC|1|01|ms|||||F
 OBX|250|NM|731329^MDC_IDC_SET_BRADY_PAV_DELAY_HIGH^MDC|1|04|ms|||||F
 OBX|251|NM|731330^MDC_IDC_SET_BRADY_PAV_DELAY_LOW^MDC|1|03|ms|||||F
 OBX|252|CWE|731392^MDC_IDC_SET_BRADY_AT_MODE_SWITCH_MODE^MDC|754763
 ^MDC_IDC_ENUM_BRADY_MODE_DDIR^MDC|||||F
 OBX|253|NM|731456^MDC_IDC_SET_BRADY_AT_MODE_SWITCH_RATE^MDC|1|30|{beats}/min|||||F
 OBX|254|CWE|731520^MDC_IDC_SET_TACHYTHERAPY_VSTAT^MDC|754817
 ^MDC_IDC_ENUM_THERAPY_STATUS_On^MDC|||||F
 OBX|255|CWE|731648^MDC_IDC_SET_ZONE_TYPE^MDC|1|754945^MDC_IDC_ENUM_ZONE_TYPE_Zone_VF
 ^MDC|||||F
 OBX|256|CWE|731712^MDC_IDC_SET_ZONE_VENDOR_TYPE^MDC|1|771139
 ^MDC_IDC_ENUM_ZONE_VENDOR_TYPE_BSX-Zone_VF^MDC|||||F
 OBX|257|CWE|731776^MDC_IDC_SET_ZONE_STATUS^MDC|1|755009
 ^MDC_IDC_ENUM_ZONE_STATUS_Active^MDC|||||F
 OBX|258|NM|731840^MDC_IDC_SET_ZONE_DETECTION_INTERVAL^MDC|1|462|ms|||||F
 OBX|259|CWE|732097^MDC_IDC_SET_ZONE_TYPE_ATP_1^MDC|1|755073
 ^MDC_IDC_ENUM_ATP_TYPE_Burst^MDC|||||F
 OBX|260|NM|732161^MDC_IDC_SET_ZONE_NUM_ATP_SEQS_1^MDC|1|1|||||F
 OBX|261|NM|732225^MDC_IDC_SET_ZONE_SHOCK_ENERGY_1^MDC|1|21.1|J|||||F
 OBX|262|NM|732289^MDC_IDC_SET_ZONE_NUM_SHOCKS_1^MDC|1|1|||||F
 OBX|263|NM|732226^MDC_IDC_SET_ZONE_SHOCK_ENERGY_2^MDC|1|31.1|J|||||F
 OBX|264|NM|732290^MDC_IDC_SET_ZONE_NUM_SHOCKS_2^MDC|1|1|||||F
 OBX|265|NM|732227^MDC_IDC_SET_ZONE_SHOCK_ENERGY_3^MDC|1|41.1|J|||||F
 OBX|266|NM|732291^MDC_IDC_SET_ZONE_NUM_SHOCKS_3^MDC|1|6|||||F
 OBX|267|CWE|731648^MDC_IDC_SET_ZONE_TYPE^MDC|2|754946^MDC_IDC_ENUM_ZONE_TYPE_Zone_VT
 ^MDC|||||F
 OBX|268|CWE|731712^MDC_IDC_SET_ZONE_VENDOR_TYPE^MDC|2|771137
 ^MDC_IDC_ENUM_ZONE_VENDOR_TYPE_BSX-Zone_VT^MDC|||||F
 OBX|269|CWE|731776^MDC_IDC_SET_ZONE_STATUS^MDC|2|755009
 ^MDC_IDC_ENUM_ZONE_STATUS_Active^MDC|||||F
 OBX|270|NM|731840^MDC_IDC_SET_ZONE_DETECTION_INTERVAL^MDC|2|463|ms|||||F
 OBX|271|CWE|732097^MDC_IDC_SET_ZONE_TYPE_ATP_1^MDC|2|755073
 ^MDC_IDC_ENUM_ATP_TYPE_Burst^MDC|||||F
 OBX|272|NM|732161^MDC_IDC_SET_ZONE_NUM_ATP_SEQS_1^MDC|2|2|||||F
 OBX|273|CWE|732098^MDC_IDC_SET_ZONE_TYPE_ATP_2^MDC|2|755074
 ^MDC_IDC_ENUM_ATP_TYPE_Ramp^MDC|||||F
 OBX|274|NM|732162^MDC_IDC_SET_ZONE_NUM_ATP_SEQS_2^MDC|2|3|||||F
 OBX|275|NM|732225^MDC_IDC_SET_ZONE_SHOCK_ENERGY_1^MDC|2|22.2|J|||||F
 OBX|276|NM|732289^MDC_IDC_SET_ZONE_NUM_SHOCKS_1^MDC|2|1|||||F
 OBX|277|NM|732226^MDC_IDC_SET_ZONE_SHOCK_ENERGY_2^MDC|2|32.2|J|||O|F
 OBX|278|NM|732290^MDC_IDC_SET_ZONE_NUM_SHOCKS_2^MDC|2|1|||||F
 OBX|279|NM|732227^MDC_IDC_SET_ZONE_SHOCK_ENERGY_3^MDC|2|42.2|J|||||F
 OBX|280|NM|732291^MDC_IDC_SET_ZONE_NUM_SHOCKS_3^MDC|2|3|||||F
 OBX|281|CWE|731648^MDC_IDC_SET_ZONE_TYPE^MDC|3|754946^MDC_IDC_ENUM_ZONE_TYPE_Zone_VT
 ^MDC|||||F
 OBX|282|CWE|731712^MDC_IDC_SET_ZONE_VENDOR_TYPE^MDC|3|771138
 ^MDC_IDC_ENUM_ZONE_VENDOR_TYPE_BSX-Zone_VT-1^MDC|||||F
 OBX|283|CWE|731776^MDC_IDC_SET_ZONE_STATUS^MDC|3|755009
 ^MDC_IDC_ENUM_ZONE_STATUS_Active^MDC|||||F
 OBX|284|NM|731840^MDC_IDC_SET_ZONE_DETECTION_INTERVAL^MDC|3|465|ms|||||F
 OBX|285|CWE|732097^MDC_IDC_SET_ZONE_TYPE_ATP_1^MDC|3|755074
 ^MDC_IDC_ENUM_ATP_TYPE_Ramp^MDC|||||F
 OBX|286|NM|732161^MDC_IDC_SET_ZONE_NUM_ATP_SEQS_1^MDC|3|4|||||F
 OBX|287|CWE|732098^MDC_IDC_SET_ZONE_TYPE_ATP_2^MDC|3|755076
 ^MDC_IDC_ENUM_ATP_TYPE_RampScan^MDC|||||F
 OBX|288|NM|732162^MDC_IDC_SET_ZONE_NUM_ATP_SEQS_2^MDC|3|5|||||F
 OBX|289|NM|732225^MDC_IDC_SET_ZONE_SHOCK_ENERGY_1^MDC|3|23.2|J|||||F
 OBX|290|NM|732289^MDC_IDC_SET_ZONE_NUM_SHOCKS_1^MDC|3|1|||||F
 OBX|291|NM|732226^MDC_IDC_SET_ZONE_SHOCK_ENERGY_2^MDC|3|33.2|J|||||F
 OBX|292|NM|732290^MDC_IDC_SET_ZONE_NUM_SHOCKS_2^MDC|3|1|||||F
 OBX|293|NM|732227^MDC_IDC_SET_ZONE_SHOCK_ENERGY_3^MDC|3|43.2|J|||||F
 OBX|294|NM|732291^MDC_IDC_SET_ZONE_NUM_SHOCKS_3^MDC|3|2|||||F

OBX|295|DTM|737489^MDC_IDC_STAT_DTM_START^MDC|20120522|||||F
 OBX|296|DTM|737490^MDC_IDC_STAT_DTM_END^MDC|20120522|||||F
 OBX|297|DTM|737505^MDC_IDC_STAT_BRADY_DTM_START^MDC|20120522|||||F
 OBX|298|DTM|737506^MDC_IDC_STAT_BRADY_DTM_END^MDC|20120522|||||F
 OBX|299|NM|737520^MDC_IDC_STAT_BRADY_RA_PERCENT_PACED^MDC|0%|||||F
 OBX|300|NM|737536^MDC_IDC_STAT_BRADY_RV_PERCENT_PACED^MDC|0%|||||F
 OBX|301|DTM|737777^MDC_IDC_STAT_CRT_DTM_START^MDC|20120522|||||F
 OBX|302|DTM|737778^MDC_IDC_STAT_CRT_DTM_END^MDC|20120522|||||F
 OBX|303|NM|737792^MDC_IDC_STAT_CRT_LV_PERCENT_PACED^MDC|0%|||||F
 OBX|304|CWE|737952^MDC_IDC_STAT_EPISODE_TYPE^MDC|1|754882
 ^MDC_IDC_ENUM_EPISODE_TYPE_Epis_VT^MDC|||||F
 OBX|305|CWE|737984^MDC_IDC_STAT_EPISODE_VENDOR_TYPE^MDC|1|771077
 ^MDC_IDC_ENUM_EPISODE_VENDOR_TYPE_BSX-Epis_NSVT^MDC|||||F
 OBX|306|NM|738000^MDC_IDC_STAT_EPISODE_RECENT_COUNT^MDC|1|0|||||F
 OBX|307|DTM|738017^MDC_IDC_STAT_EPISODE_RECENT_COUNT_DTM_START^MDC|1|20120522|||||F
 OBX|308|DTM|738018^MDC_IDC_STAT_EPISODE_RECENT_COUNT_DTM_END^MDC|1|20120522|||||F
 OBX|309|CWE|737952^MDC_IDC_STAT_EPISODE_TYPE^MDC|1|754882
 ^MDC_IDC_ENUM_EPISODE_TYPE_Epis_VT^MDC|||||F
 OBX|310|CWE|737984^MDC_IDC_STAT_EPISODE_VENDOR_TYPE^MDC|1|||||F
 OBX|311|NM|738000^MDC_IDC_STAT_EPISODE_RECENT_COUNT^MDC|1|0|||||F
 OBX|312|DTM|738017^MDC_IDC_STAT_EPISODE_RECENT_COUNT_DTM_START^MDC|1|20120522|||||F
 OBX|313|DTM|738018^MDC_IDC_STAT_EPISODE_RECENT_COUNT_DTM_END^MDC|1|20120522|||||F
 OBX|314|CWE|737952^MDC_IDC_STAT_EPISODE_TYPE^MDC|2|754884
 ^MDC_IDC_ENUM_EPISODE_TYPE_Epis_SVT^MDC|||||F
 OBX|315|CWE|737984^MDC_IDC_STAT_EPISODE_VENDOR_TYPE^MDC|2|771076
 ^MDC_IDC_ENUM_EPISODE_VENDOR_TYPE_BSX-Epis_SVT^MDC|||||F
 OBX|316|NM|738000^MDC_IDC_STAT_EPISODE_RECENT_COUNT^MDC|2|0|||||F
 OBX|317|DTM|738017^MDC_IDC_STAT_EPISODE_RECENT_COUNT_DTM_START^MDC|2|20120522|||||F
 OBX|318|DTM|738018^MDC_IDC_STAT_EPISODE_RECENT_COUNT_DTM_END^MDC|2|20120522|||||F
 OBX|319|CWE|737952^MDC_IDC_STAT_EPISODE_TYPE^MDC|4|754883
 ^MDC_IDC_ENUM_EPISODE_TYPE_Epis_ATAF^MDC|||||F
 OBX|320|CWE|737984^MDC_IDC_STAT_EPISODE_VENDOR_TYPE^MDC|4|771078
 ^MDC_IDC_ENUM_EPISODE_VENDOR_TYPE_BSX-Epis_ATF^MDC|||||F
 OBX|321|NM|738000^MDC_IDC_STAT_EPISODE_RECENT_COUNT^MDC|4|0|||||F
 OBX|322|DTM|738017^MDC_IDC_STAT_EPISODE_RECENT_COUNT_DTM_START^MDC|4|20120522|||||F
 OBX|323|DTM|738018^MDC_IDC_STAT_EPISODE_RECENT_COUNT_DTM_END^MDC|4|20120522|||||F
 OBX|324|CWE|737952^MDC_IDC_STAT_EPISODE_TYPE^MDC|5|754883
 ^MDC_IDC_ENUM_EPISODE_TYPE_Epis_Other^MDC|||||F
 OBX|325|CWE|737984^MDC_IDC_STAT_EPISODE_VENDOR_TYPE^MDC|5|||||F
 OBX|326|NM|738000^MDC_IDC_STAT_EPISODE_RECENT_COUNT^MDC|5|0|||||F
 OBX|327|DTM|738017^MDC_IDC_STAT_EPISODE_RECENT_COUNT_DTM_START^MDC|5|20120522|||||F
 OBX|328|DTM|738018^MDC_IDC_STAT_EPISODE_RECENT_COUNT_DTM_END^MDC|5|20120522|||||F
 OBX|329|CWE|737952^MDC_IDC_STAT_EPISODE_TYPE^MDC|6|754881
 ^MDC_IDC_ENUM_EPISODE_TYPE_Epis_VF^MDC|||||F
 OBX|330|CWE|737984^MDC_IDC_STAT_EPISODE_VENDOR_TYPE^MDC|6|771073
 ^MDC_IDC_ENUM_EPISODE_VENDOR_TYPE_BSX-Epis_VF^MDC|||||F
 OBX|331|NM|738000^MDC_IDC_STAT_EPISODE_RECENT_COUNT^MDC|6|1|||||F
 OBX|332|DTM|738017^MDC_IDC_STAT_EPISODE_RECENT_COUNT_DTM_START^MDC|6|20120522|||||F
 OBX|333|DTM|738018^MDC_IDC_STAT_EPISODE_RECENT_COUNT_DTM_END^MDC|6|20120522|||||F
 OBX|334|CWE|737952^MDC_IDC_STAT_EPISODE_TYPE^MDC|7|754882
 ^MDC_IDC_ENUM_EPISODE_TYPE_Epis_VT^MDC|||||F
 OBX|335|CWE|737984^MDC_IDC_STAT_EPISODE_VENDOR_TYPE^MDC|7|771074
 ^MDC_IDC_ENUM_EPISODE_VENDOR_TYPE_BSX-Epis_VT^MDC|||||F
 OBX|336|NM|738000^MDC_IDC_STAT_EPISODE_RECENT_COUNT^MDC|7|2|||||F
 OBX|337|DTM|738017^MDC_IDC_STAT_EPISODE_RECENT_COUNT_DTM_START^MDC|7|20120522|||||F
 OBX|338|DTM|738018^MDC_IDC_STAT_EPISODE_RECENT_COUNT_DTM_END^MDC|7|20120522|||||F
 OBX|339|CWE|737952^MDC_IDC_STAT_EPISODE_TYPE^MDC|8|754882
 ^MDC_IDC_ENUM_EPISODE_TYPE_Epis_VT^MDC|||||F
 OBX|340|CWE|737984^MDC_IDC_STAT_EPISODE_VENDOR_TYPE^MDC|8|771075
 ^MDC_IDC_ENUM_EPISODE_VENDOR_TYPE_BSX-Epis_VT-1^MDC|||||F
 OBX|341|NM|738000^MDC_IDC_STAT_EPISODE_RECENT_COUNT^MDC|8|3|||||F
 OBX|342|DTM|738017^MDC_IDC_STAT_EPISODE_RECENT_COUNT_DTM_START^MDC|8|20120522|||||F
 OBX|343|DTM|738018^MDC_IDC_STAT_EPISODE_RECENT_COUNT_DTM_END^MDC|8|20120522|||||F
 OBX|344|CWE|737952^MDC_IDC_STAT_EPISODE_TYPE^MDC|9|754884
 ^MDC_IDC_ENUM_EPISODE_TYPE_Epis_Monitor^MDC|||||F

OBX|345|CWE|737984^MDC_IDC_STAT_EPISODE_VENDOR_TYPE^MDC|9||||||F
OBX|346|NM|738000^MDC_IDC_STAT_EPISODE_RECENT_COUNT^MDC|9|4|||||F
OBX|347|DTM|738017^MDC_IDC_STAT_EPISODE_RECENT_COUNT_DTM_START^MDC|9|20120522|||||F
OBX|348|DTM|738018^MDC_IDC_STAT_EPISODE_RECENT_COUNT_DTM_END^MDC|9|20120522|||||F

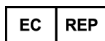
Outdated version. Do not use.
Version überholt. Nicht verwenden.
Version obsoleté. Ne pas utiliser.
Versión obsoleta. No utilizar.
Versione obsoleta. No utilizzare.
Verouderde versie. Niet gebruiken.
Föråldrad version. Använd ej.
Þaðið ekki. Þaðið ekki. Minn tny xponuquotolejτε.
Versão obsoleta. Não utilize.
Forældet version. Må ikke anvendes.
Zastaralà verze. Nepoužívat.
Utdatert versjon. Skal ikke brukes.
Zastaraná verzia. Nepoužívat.
Elavult verzió. Ne használja!
Wersja nieaktualna. Nie używać.

Outdated version. Do not use.
Version überholt. Nicht verwenden.
Version obsoète. Ne pas utiliser.
Versión obsoleta. No utilizar.
Versione obsoleta. Non utilizzare.
Verouderde versie. Niet gebruiken.
Föråldrad version. Använd ej.
Þaðið ékðoðn. Myndi ekki uppføres.
Versão obsoleta. Não utilize.
Forældet version. Må ikke anvendes.
Zastaralá verze. Nepoužívat.
Utdatert versjon. Skal ikke brukes.
Zastaraná verzia. Nepoužívat!
Elavult verzió. Ne használja!
Wersja nieaktualna. Nie używać.

Outdated version. Do not use.
Version überholt. Nicht verwenden.
Version obsoète. Ne pas utiliser.
Versión obsoleta. No utilizar.
Versione obsoleta. Non utilizzare.
Verouderde versie. Niet gebruiken.
Föråldrad version. Använd ej.
Παλιά έκδοση. Μην την χρησιμοποιείτε.
Versão obsoleta. Não utilize.
Forældet version. Må ikke anvendes.
Zastaralå verze. Nepoužívat.
Utdatert versjon. Skal ikke brukes.
Zastaraná verzia. Nepoužívat!
Elavult verzió. Ne használja!
Wersja nieaktualna. Nie używać.



Boston Scientific
4100 Hamline Avenue North
St. Paul, MN 55112-5798 USA



Guidant Europe NV/SA; Boston Scientific
Green Square, Lambroekstraat 5D
1831 Diegem, Belgium

1.800.CARDIAC (227.3422)
+1.651.582.4000

www.bostonscientific.com

© 2013 Boston Scientific Corporation or its affiliates.
All rights reserved.

359273-005 IT Europe 2013-10

